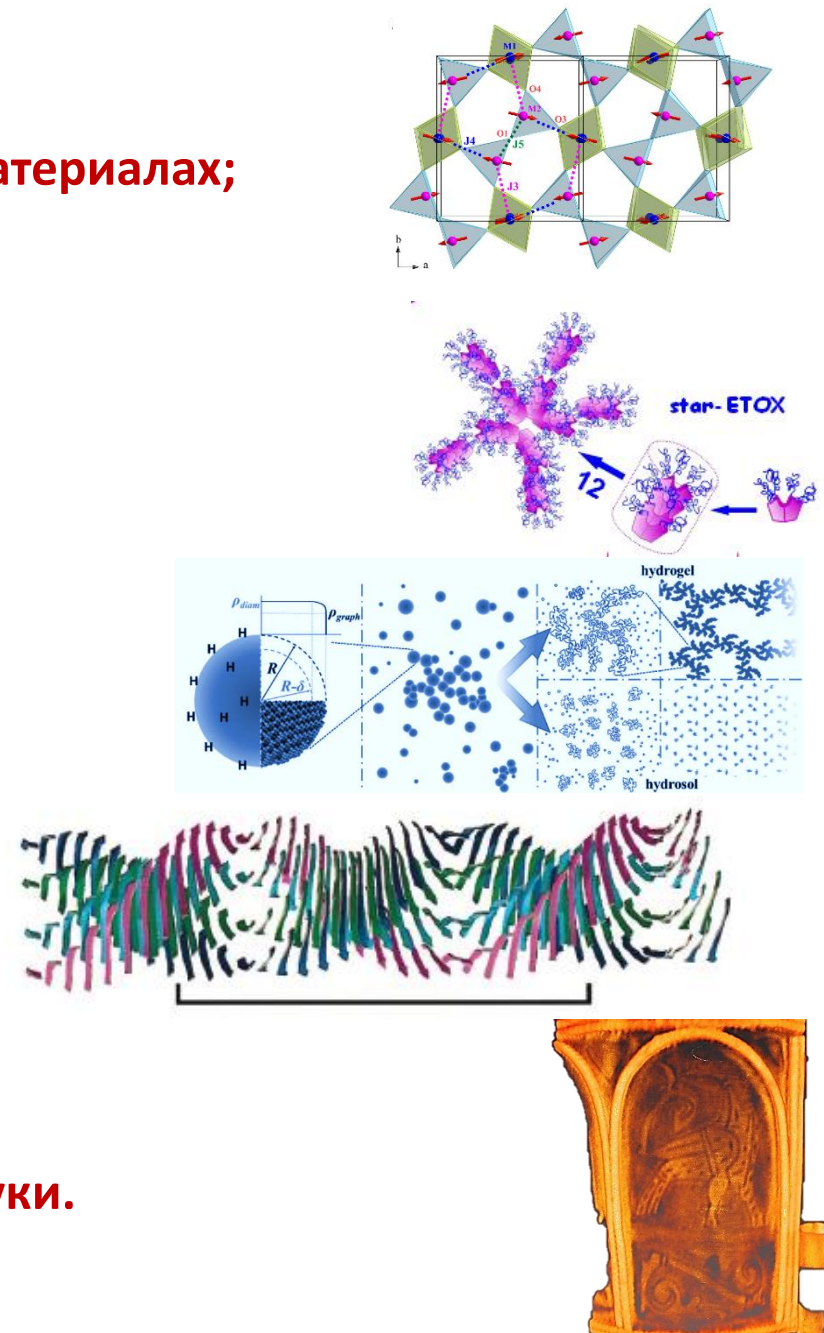


# **Тема 1142 – Исследования функциональных материалов и наносистем с использованием рассеяния нейtronов**

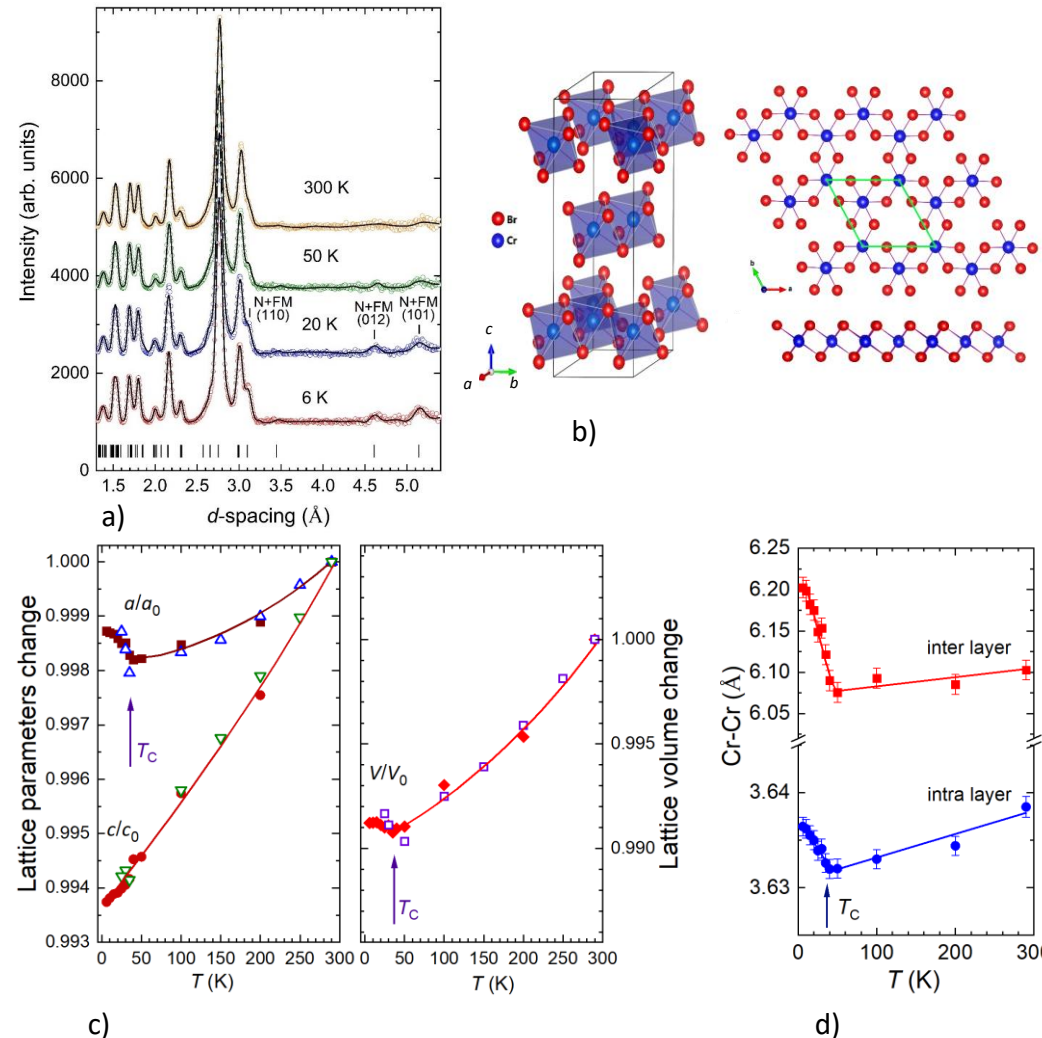
**Основные результаты 2021 г.**

# Основные направления научных исследований

1. Физика конденсированного состояния и науки о материалах;
2. Физика наносистем и наноразмерных явлений;
3. Физика комплексных жидкостей и полимеров;
4. Биофизика и фармакология;
5. Прикладное материаловедение и инженерные науки.



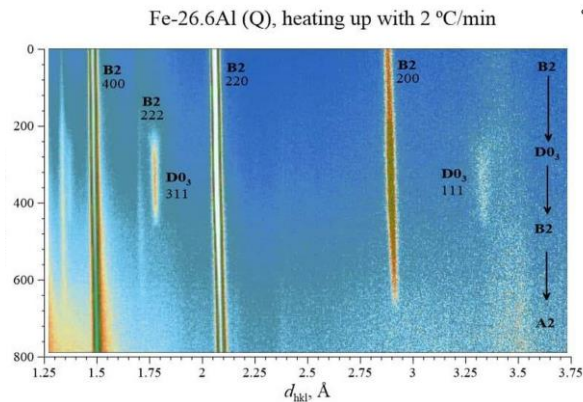
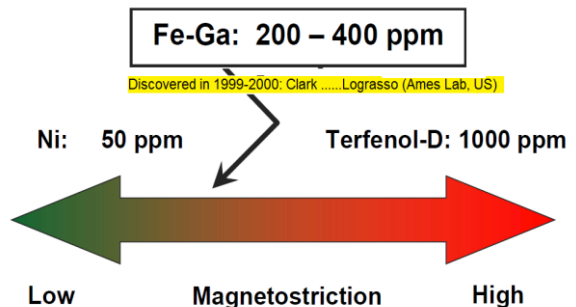
# Спин-индукцированное отрицательное тепловое расширение в ван-дер-ваальсовском ферромагнетике $\text{CrBr}_3$



а) Нейтронные дифракционные спектры  $\text{CrBr}_3$ , измеренные при различных температурах и профили, рассчитанные по методу Ритвельда. б) Ромбоэдрическая кристаллическая структура  $\text{CrBr}_3$  симметрии  $R\bar{3}$ . в) Температурные зависимости параметров и объема элементарной ячейки кристаллической решетки  $\text{CrBr}_3$ , отнормированные на соответствующие значения при комнатной температуре. г) Температурные зависимости расстояний между магнитными ионами Cr внутри ван-дер-ваальсовых слоев (intra-layer) и между слоями (inter-layer).

# Исследование эффектов когерентного кластерного упорядочения в сплавах Fe-Ga, Fe-Al в зависимости от концентрации Ga(Al) и при фазовых переходах порядок-беспорядок при изменении температуры .

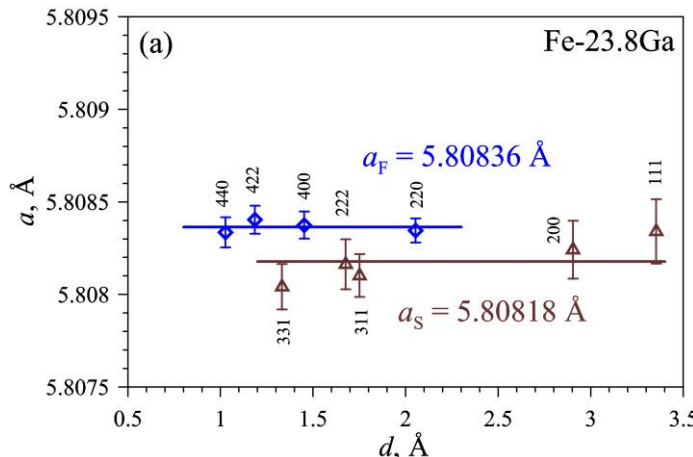
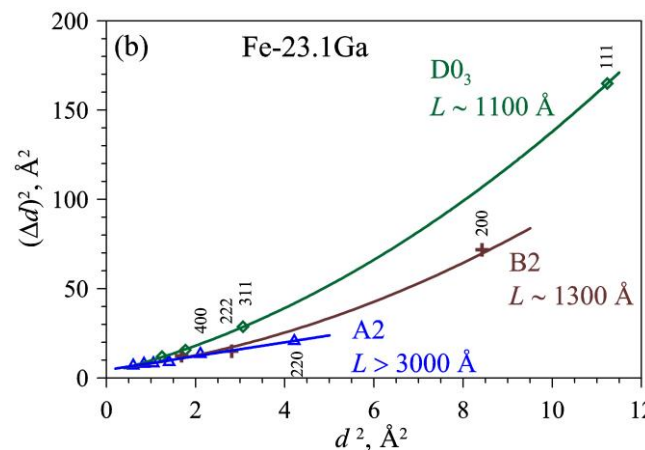
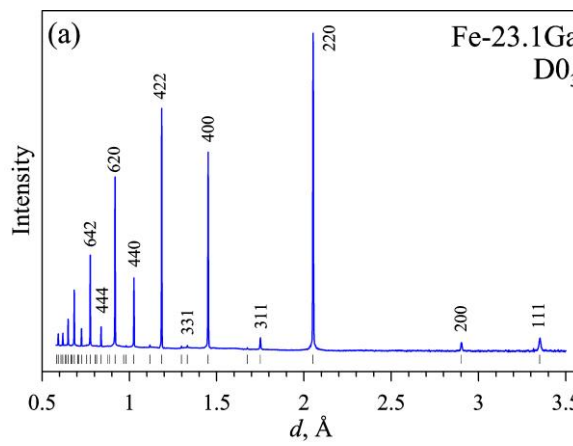
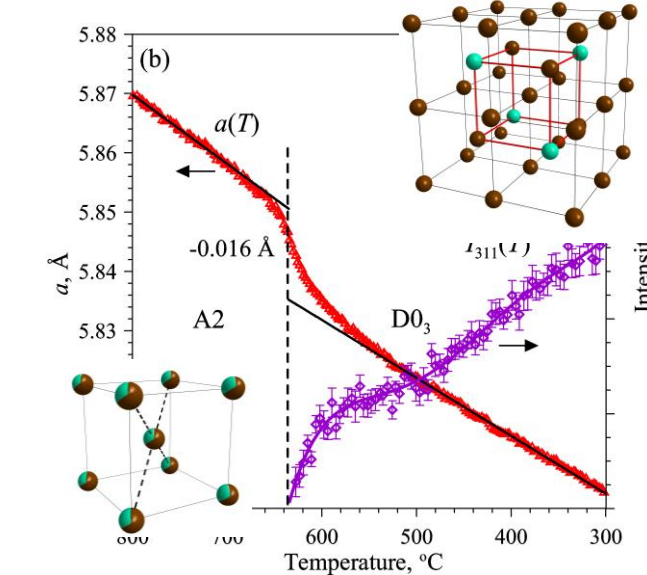
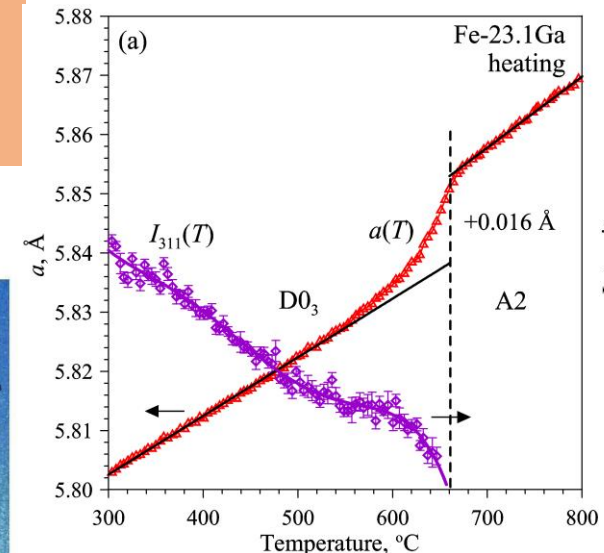
Neutron diffraction as instrument to plot phase diagrams of the alloys



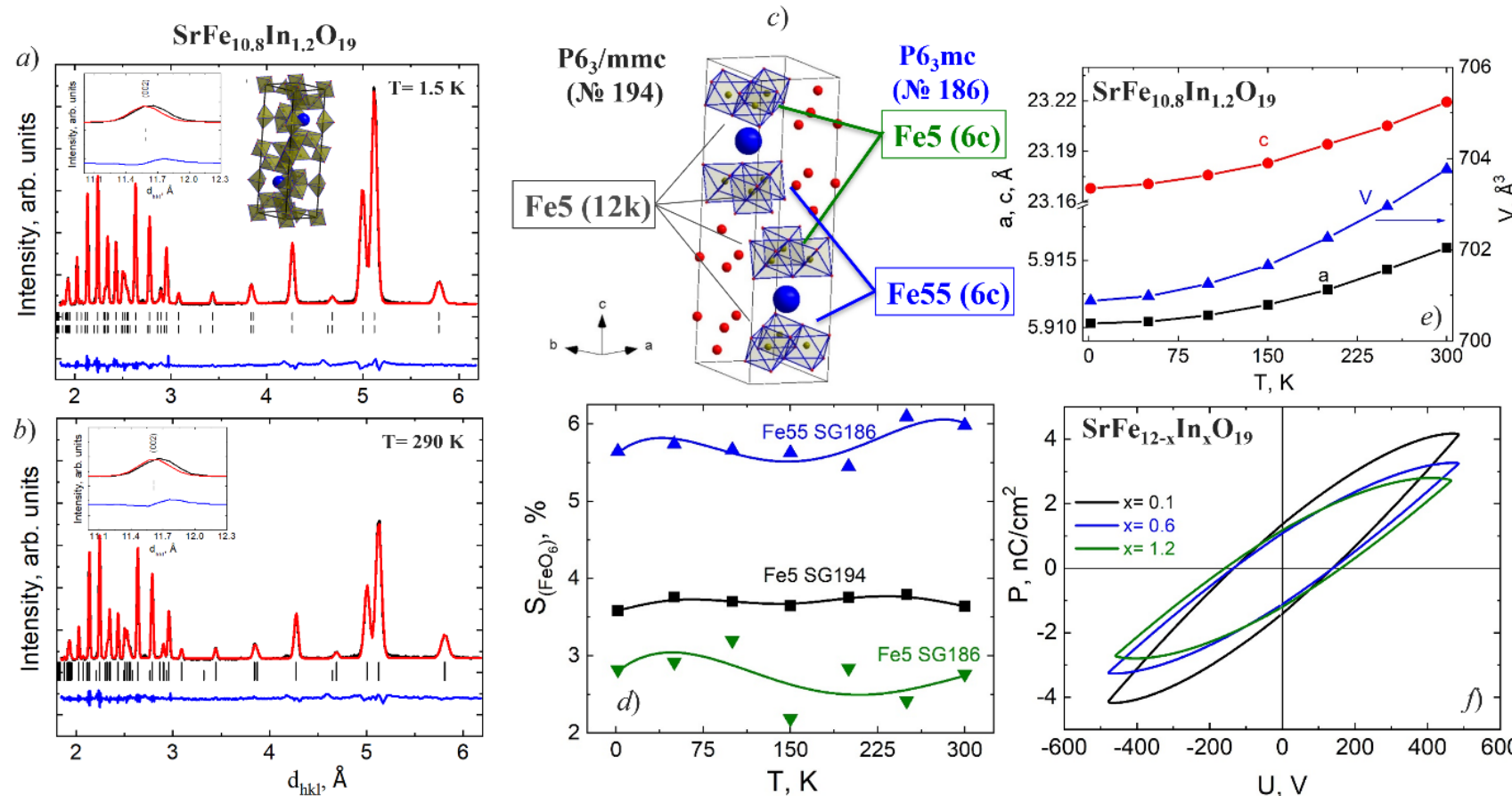
Low

Magnetostriction

High



# Комплексные исследования образцов стронциевых гексаферритов $\text{SrFe}_{12-x}\text{In}_x\text{O}_{19}$ ( $x = 0.1; 0.6$ и $1.2$ )

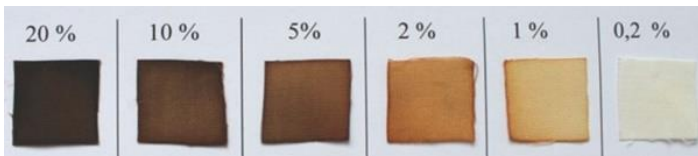


Нейтронограммы поликристаллического образца  $\text{SrFe}_{10.8}\text{In}_{1.2}\text{O}_{19}$  измеренные на дифрактометре G 4-1 (LLB,  $\lambda = 2.426 \text{ \AA}$ ) при  $T = 1.5$  – (a) и  $290 \text{ K}$  – (b) и уточненные методом Ритвельда; схематическое изображение кислородных полиздротов – (c) и различная степень их искажения – (d) в случае центросимметричной ( $\text{P}6_3/\text{mmc}$ ) и нецентросимметричной ( $\text{P}6_3\text{mc}$ ) элементарной ячейки; температурная зависимость параметров элементарной ячейки образца  $\text{SrFe}_{10.8}\text{In}_{1.2}\text{O}_{19}$  – (e); полевая зависимость электрической поляризации – (f) образцов  $\text{SrFe}_{12-x}\text{In}_x\text{O}_{19}$  ( $x = 0.1; 0.6$  и  $1.2$ ) измеренная при комнатной температуре.

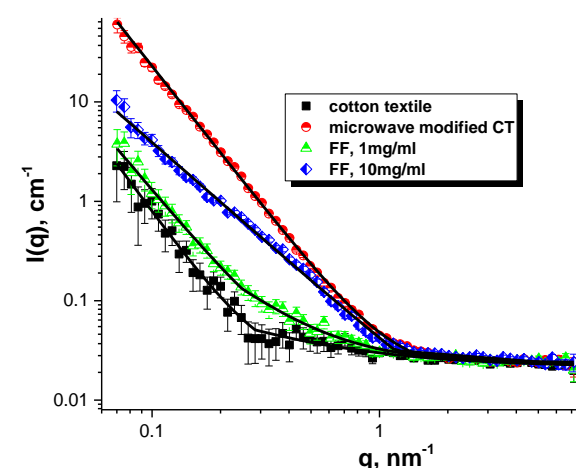
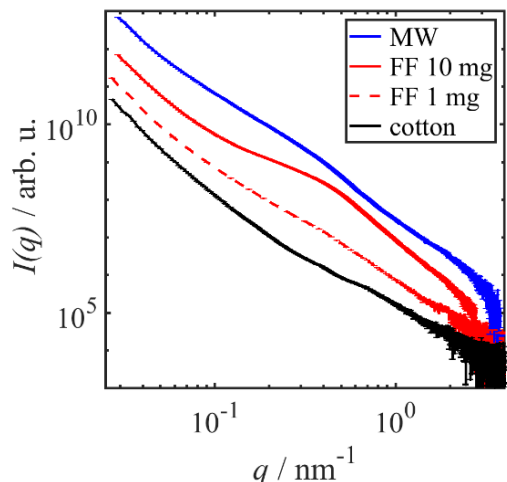
# 'Magnetic' textiles for bio-catalysis

Precipitation with Microwaves (MW)

Ferrofluid synthesis with textile (FF)

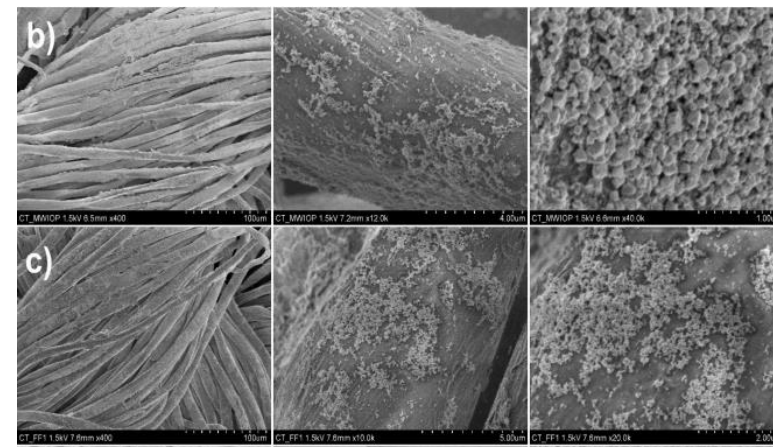


SAXS/SANS

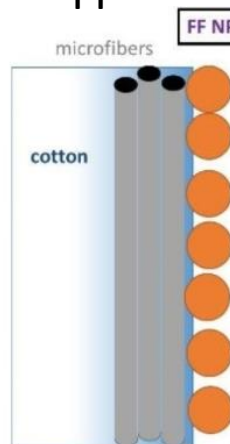


ISB CAS – IEP SAS - KNU - FLNP JINR

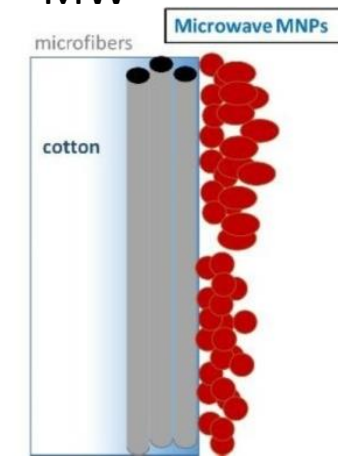
SEM



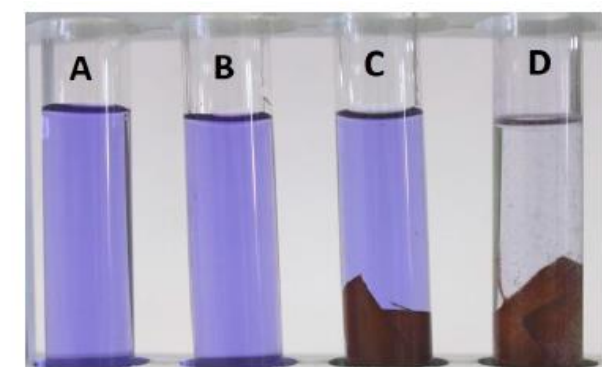
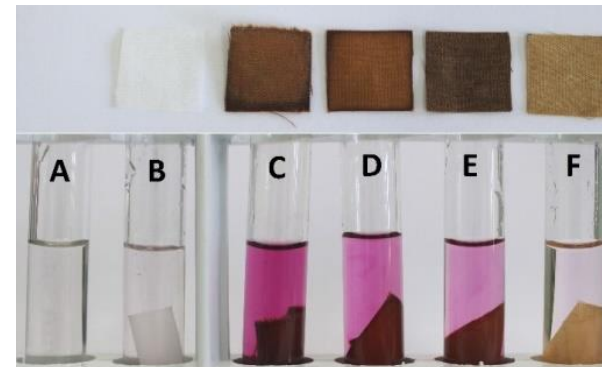
FF



MW



Bio-catalytic activity



Safarik, I., Prochazkova, J., Schroer, M.A., Garamus V.M., Kopcansky P., Timko M., Rajnak M., Karpets M., Ivankov O.I., Avdeev M.V., Petrenko V.I., Bulavin, L., Pospiskova, K., ACS Appl. Mater. Interfaces 13 (2021) 23627

# Impact of cholesterol / melatonin on structure of model lipid membranes

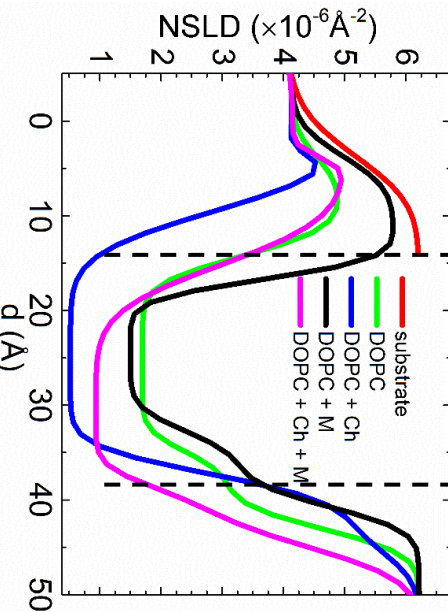
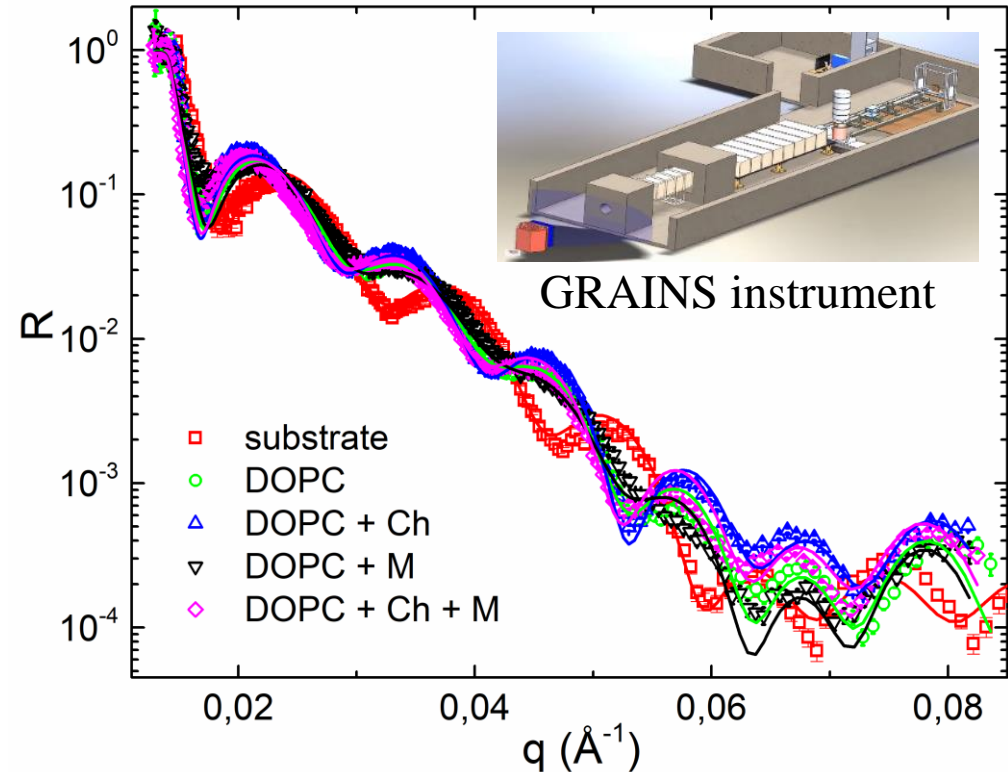
FLNP

FLNP JINR – LRB JINR – DSU – TSNUK – Šafárik Univ – Comenius Univ



Changes in cholesterol and melatonin concentrations affect **development of degenerative diseases**

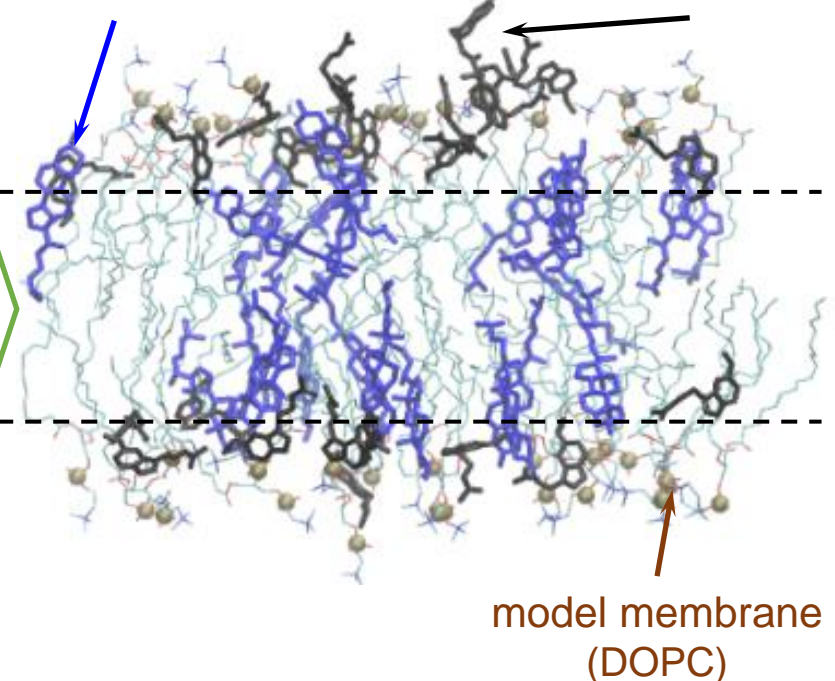
## Neutron reflectometry @ IBR-2



## Molecular dynamics (FLNP, LRB)

cholesterol

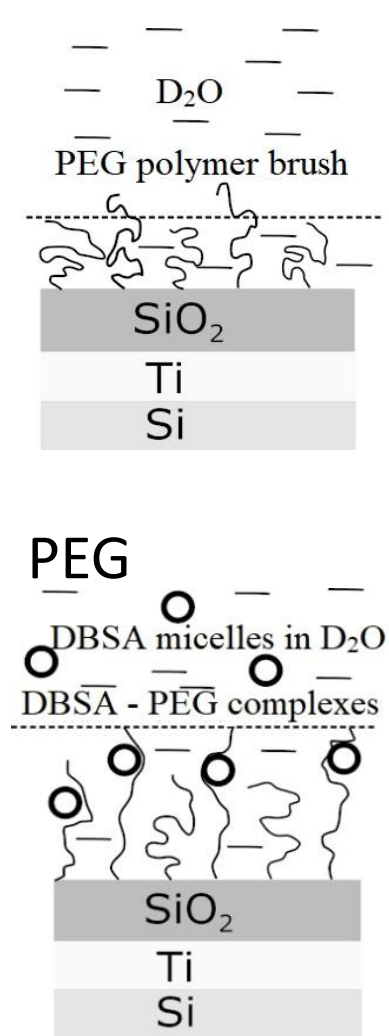
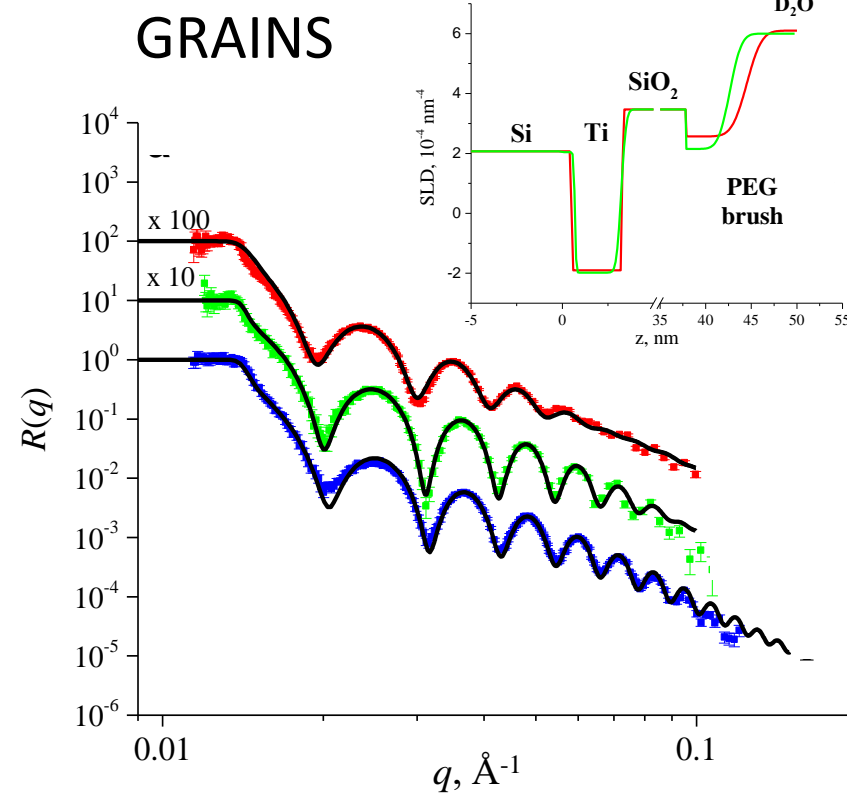
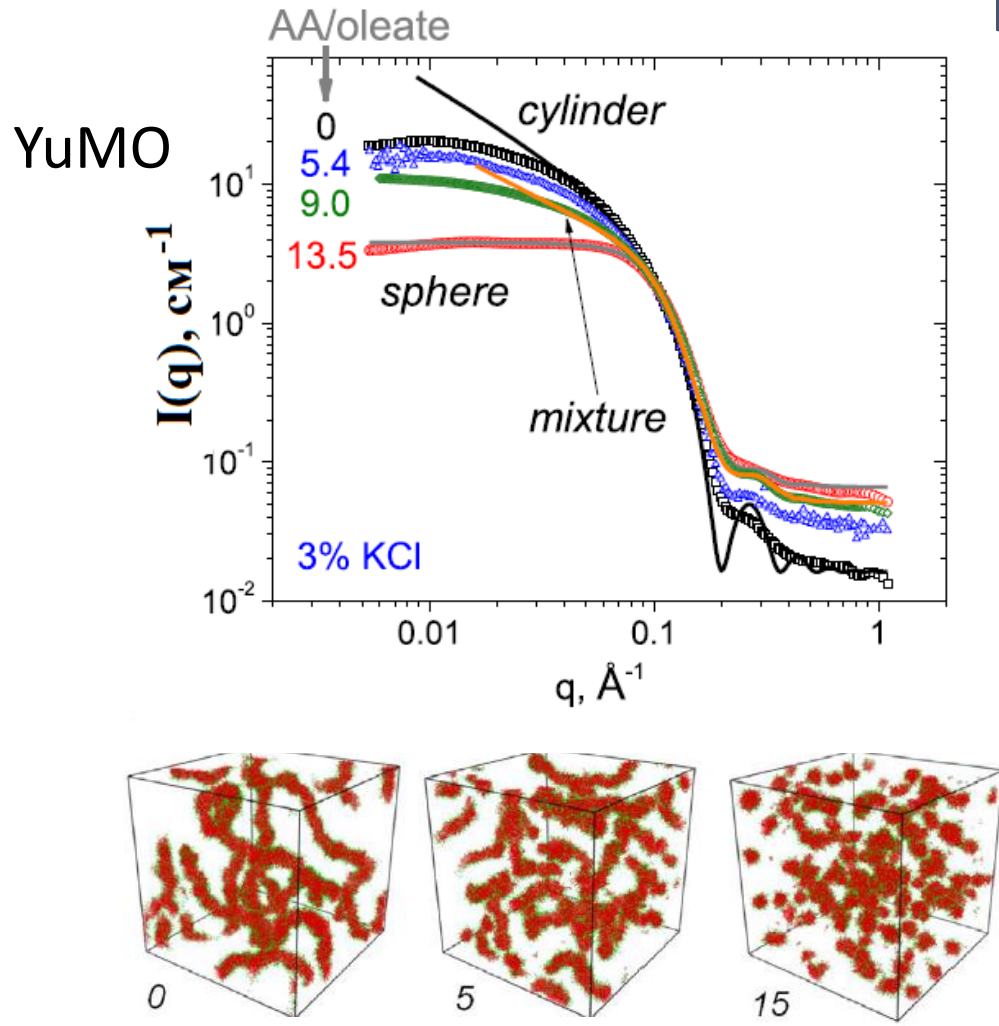
melatonin



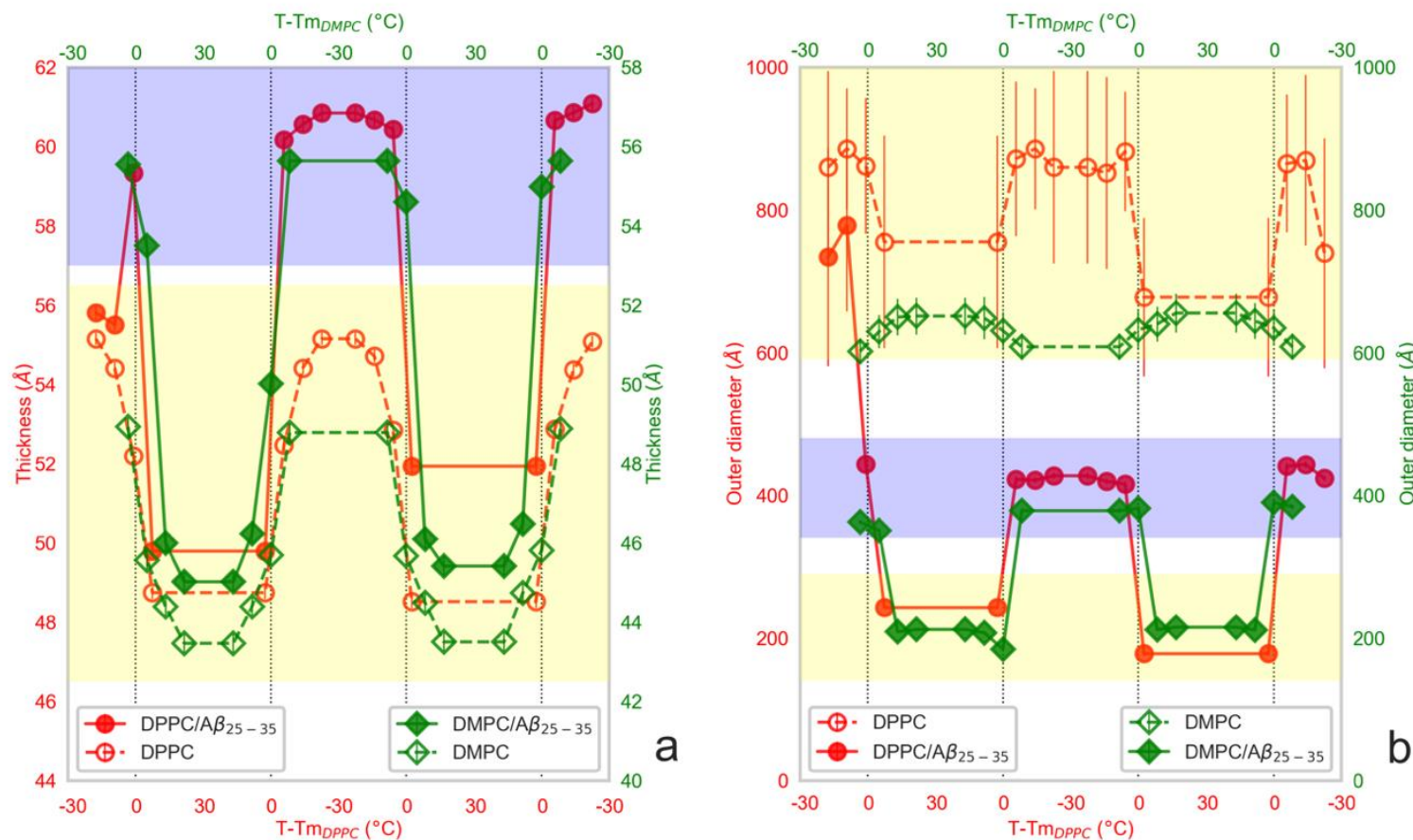
Cholesterol and melatonin found to **accumulate in different membrane regions**, affecting the entire structure of membrane (and its properties).

# Studies of surfactant micelle solutions in bulk and interfaces

Fac. Phys. MSU - Phys. Dpt. KNU - FLNP JINR



# Структурные изменения в модельных липидных мембранах при встраивании амилоид-бета пептида



Изменение толщины модельной мембраны (а) и размеров агрегатов (б) в зависимости от сдвига температуры относительно главного фазового перехода для ДМФХ(зеленые ромбы) и ДПФХ (красные круги) с добавлением и без добавления амилоид-бета пептида.

# Структура полноразмерного фоторецепторного комплекса сенсорного родопсина с родственным трансдьюсером из экстремофильной археи *Natrononas pharaonic*

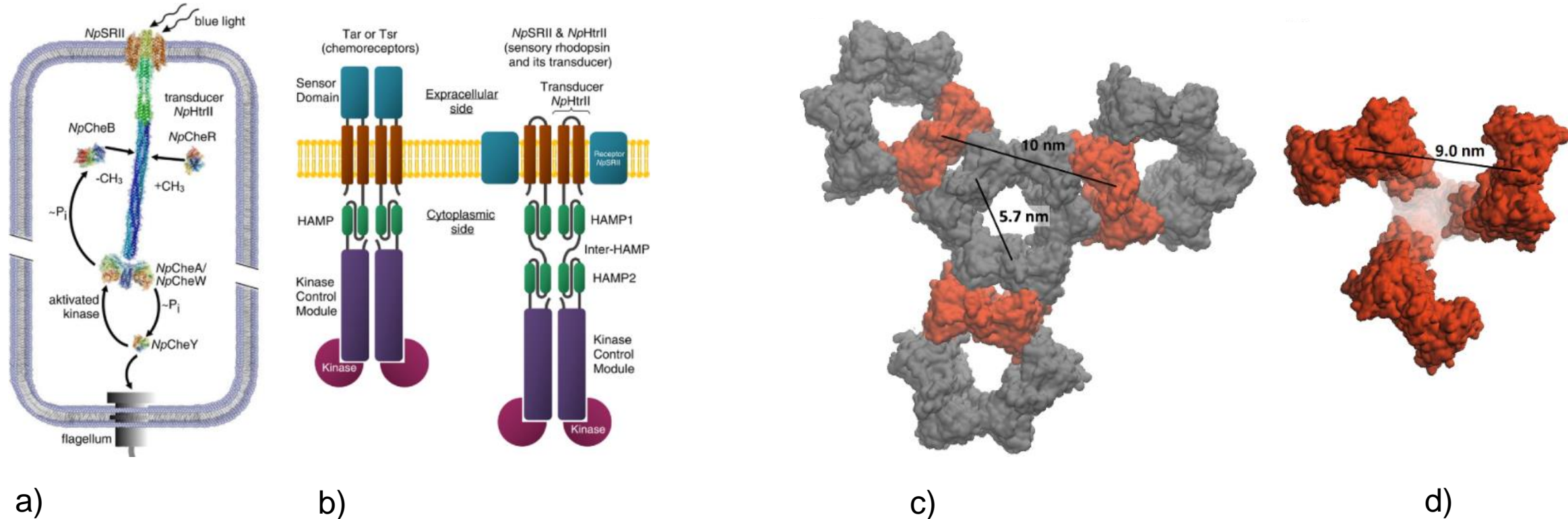
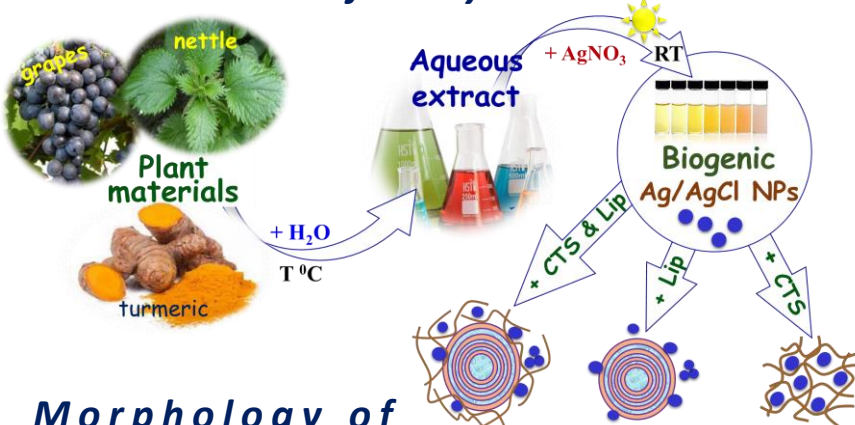


Схема сигнального каскада (а) в случае двухкомпонентной системы отрицательного фототаксиса *Natrononas pharaonis* и схема доменной архитектуры (б) димера хеморецепторов (Tar и Tsr в комплексе с киназами) из *E. coli* (слева) и димера фотосенсорного комплекса сенсорного родопсина II с его родственным трансдьюсером *NpHtrII* из *N. pharaonis* (справа). Изображения трансмембранных доменов комплекса *NpSRII/NpHtrII*: фрагмент гексагональной упаковки «О»-образных тримеров димеров (с); изображение «tripod»-образного тримера димеров (д).

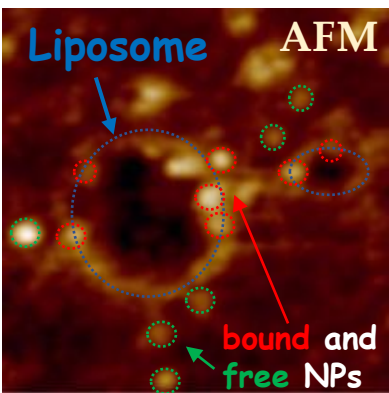
# BIOHYBRID NANOCOMPLEXES

based on phytogenerated Ag/AgCl NPs, biomimetic membranes and chitosan  
AND THEIR POTENTIAL APPLICATION IN BIOMEDICINE

## Formation of biohybrids

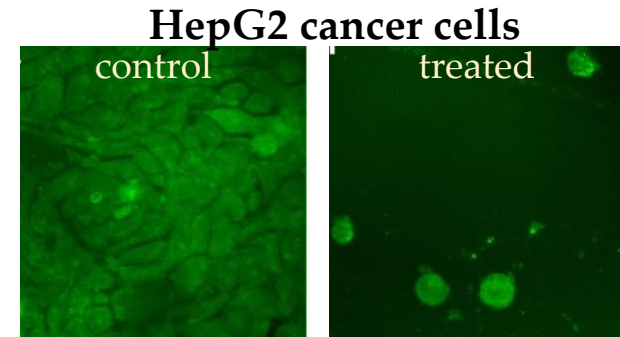
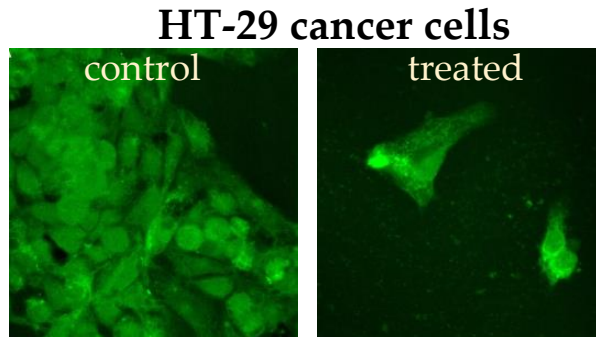


## Morphology of Ag/AgCl NPs–Lip–CTS



## ANTIPROLIFERATIVE ACTIVITY OF BIOHYBRID Ag/AgCl NPs–Lip–CTS

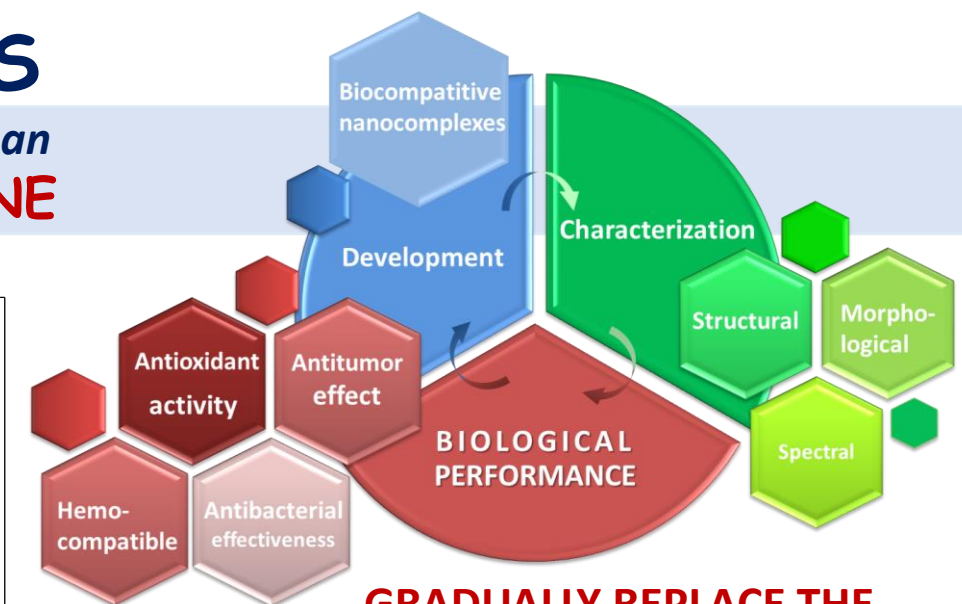
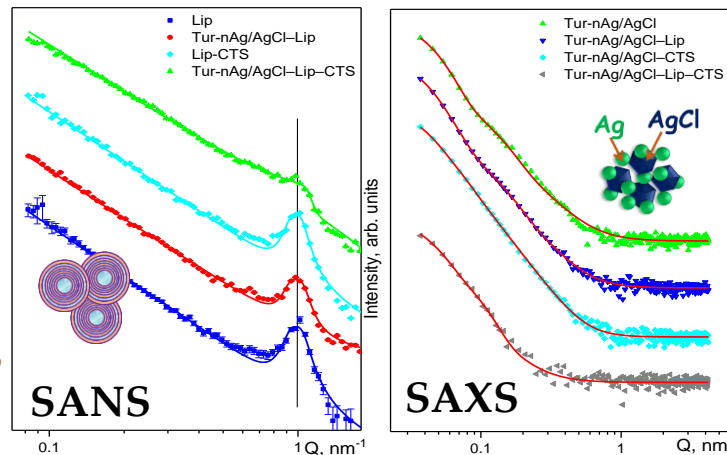
therapeutic index value of 1.30 for HT-29 cancer cells and 1.77 for HepG2 cancer cells



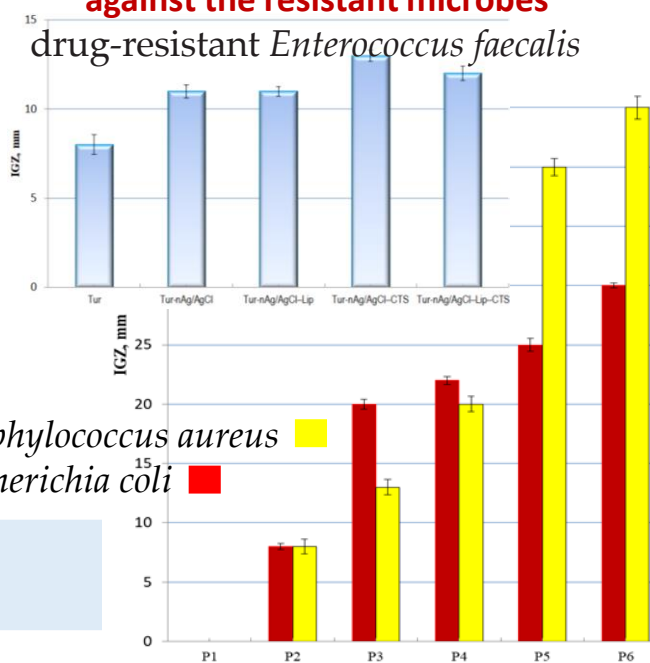
M.-E. Barbinta-Patrascu, Yu. Gorshkova; et al. *Materials* 14, 4726 (2021).

Yu. Gorshkova, M.-E. Barbinta-Patrascu; et al. *Nanomaterials*, 11, 1811 (2021).

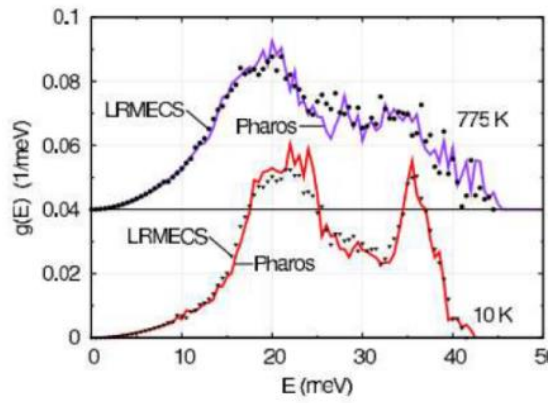
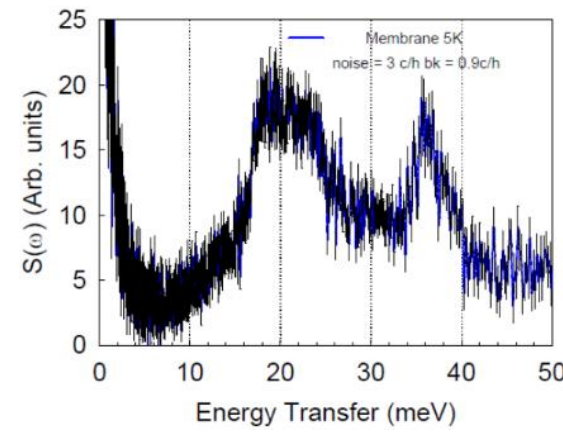
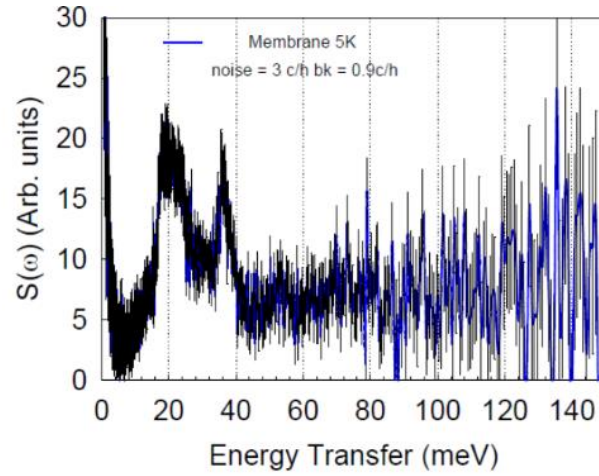
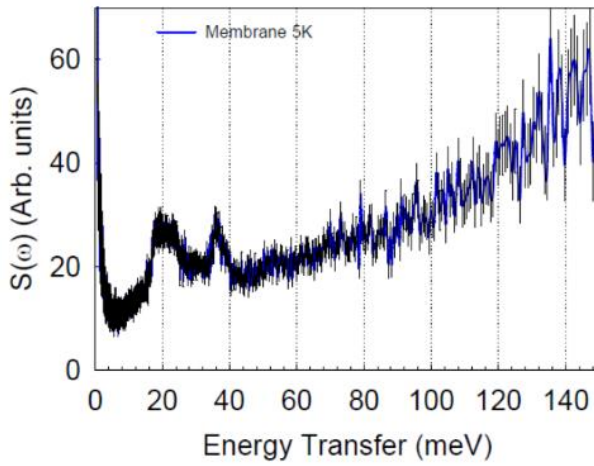
## Structure of biohybrid components



GRADUALLY REPLACE THE OLD-GENERATION DRUGS that certainly have lost their "tooth" against the resistant microbes



## Динамика материалов в нанопористой мембране

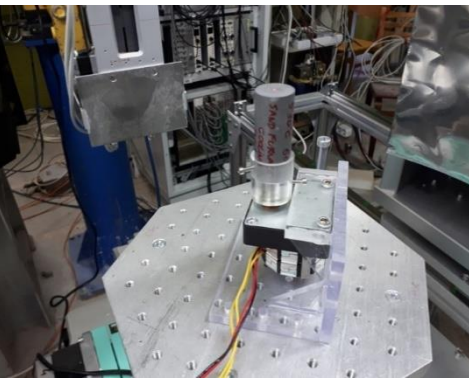


Спектры неупругого рассеяния нейтронов на системе 8CFNB в нанопористой мембране.

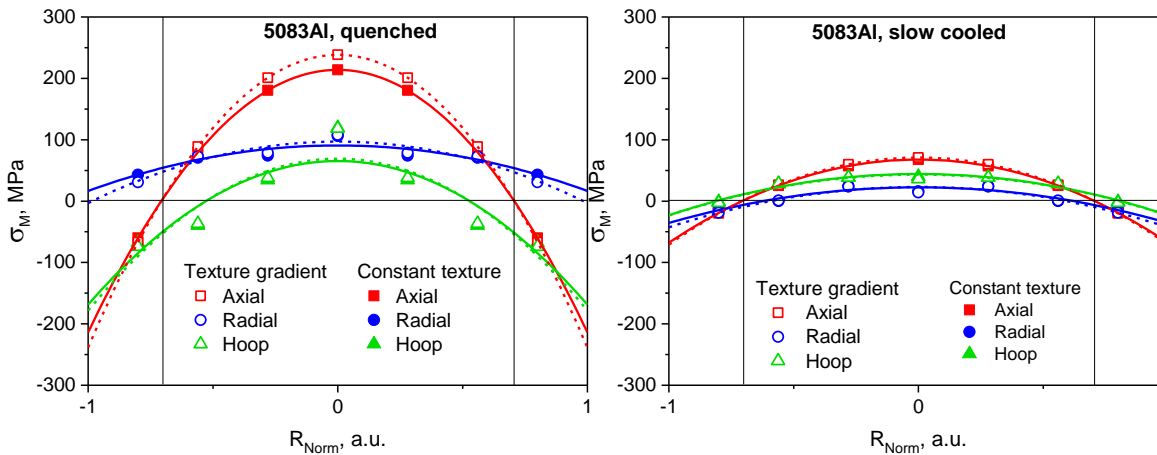
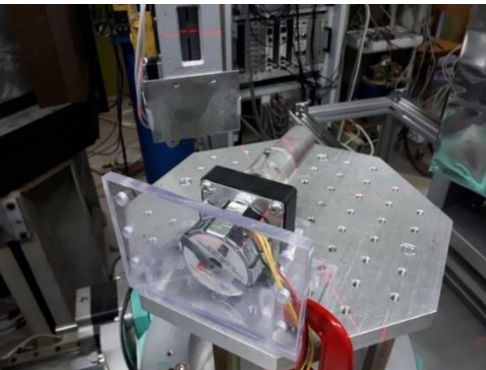
# FSD: Residual stress distributions in 2014Al and 5083Al aluminum alloy samples after heat treatment



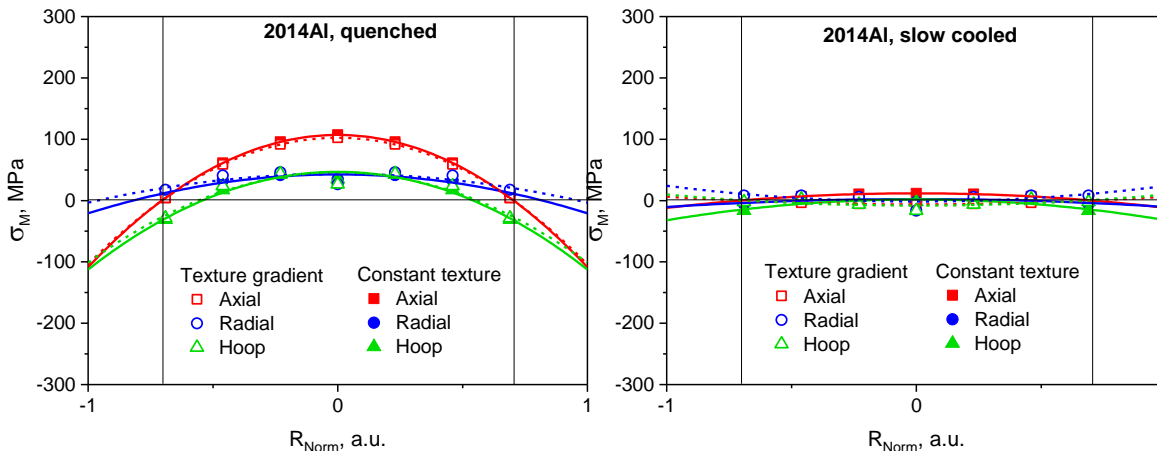
Experimental setup



Horizontal and vertical configurations

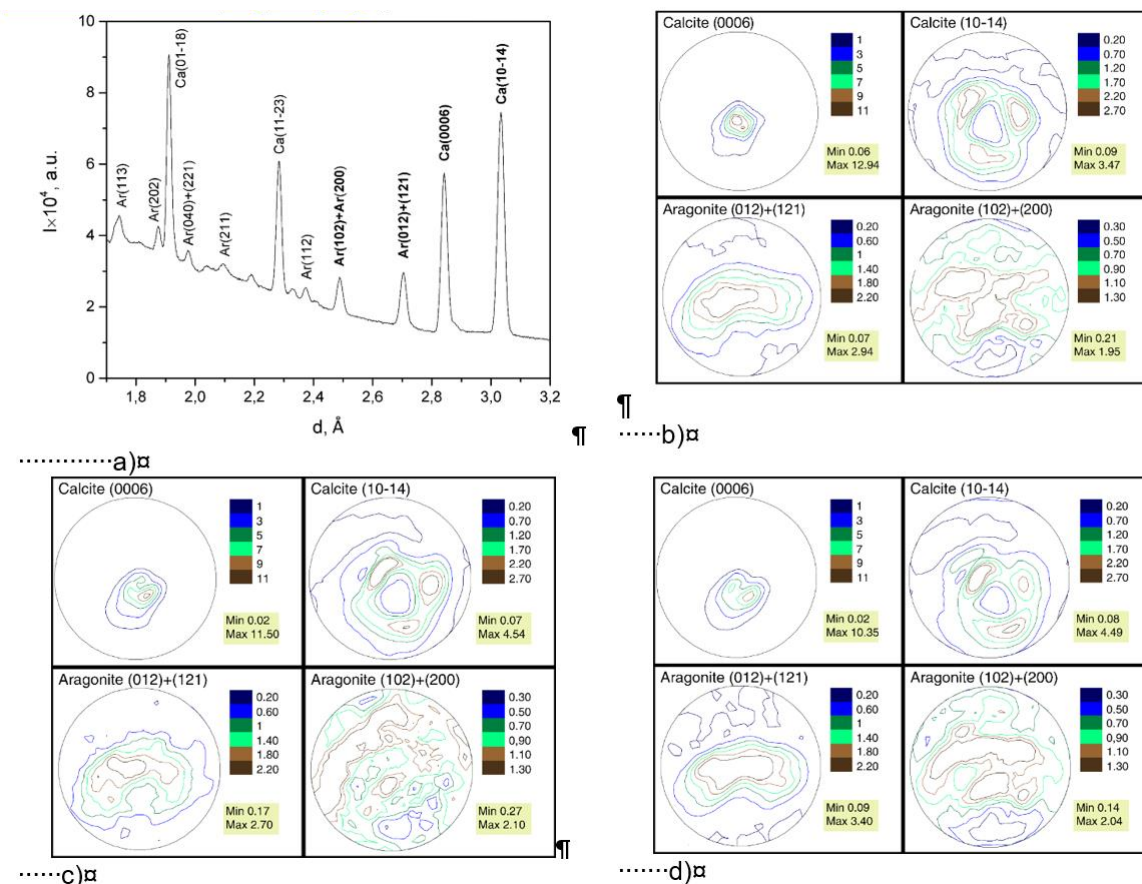


Residual macrostress distribution in non-age-hardenable 5083Al alloy sample after quenching (left) and slow cooling (right)



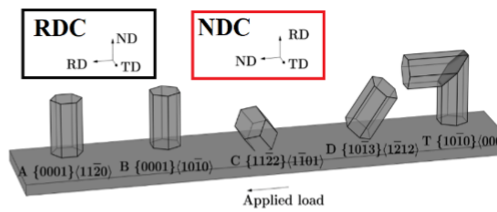
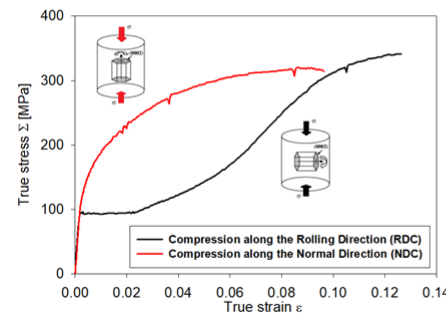
Residual macrostress distribution in age-hardenable 2014Al alloy sample after quenching (left) and slow cooling (right)

# Исследования взаимосвязи между элементным составом и кристаллографической текстурой раковин двустворчатых моллюсков вида *Mytilus galloprovincialis*, обитающих в районе залива Салдана (Южная Африка)



Суммарный нейтронный дифракционный спектр, зарегистрированный для образца из раковин моллюска *Mytilus galloprovincialis* со станции 2, яхт-клуб Лангебана. Полярные фигуры кальцита и арагонита в раковинах *Mytilus galloprovincialis* со станции 1, залив Опасности (б), со станции 2, яхт-клуб Лангебана (с), со станции 3, Малая бухта (д).

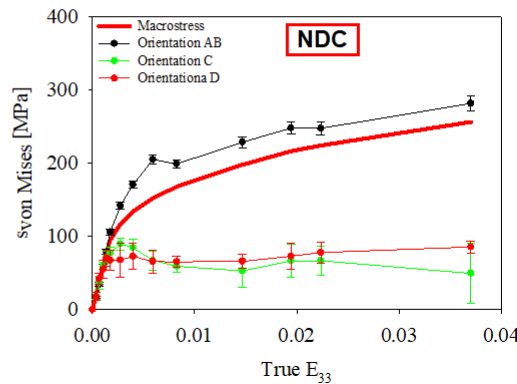
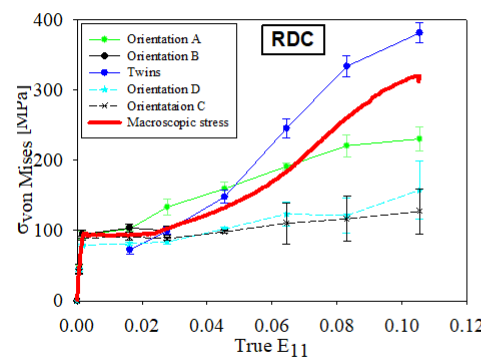
# Исследования стрессов в группах гранул в сильно текстурированном монофазном сплаве магния (AZ31)



$$\sigma(g, E) = \begin{bmatrix} \sigma_{11} & \sigma_{12} & \sigma_{13} \\ \sigma_{21} & \sigma_{22} & \sigma_{23} \\ \sigma_{31} & \sigma_{32} & \sigma_{33} \end{bmatrix}$$

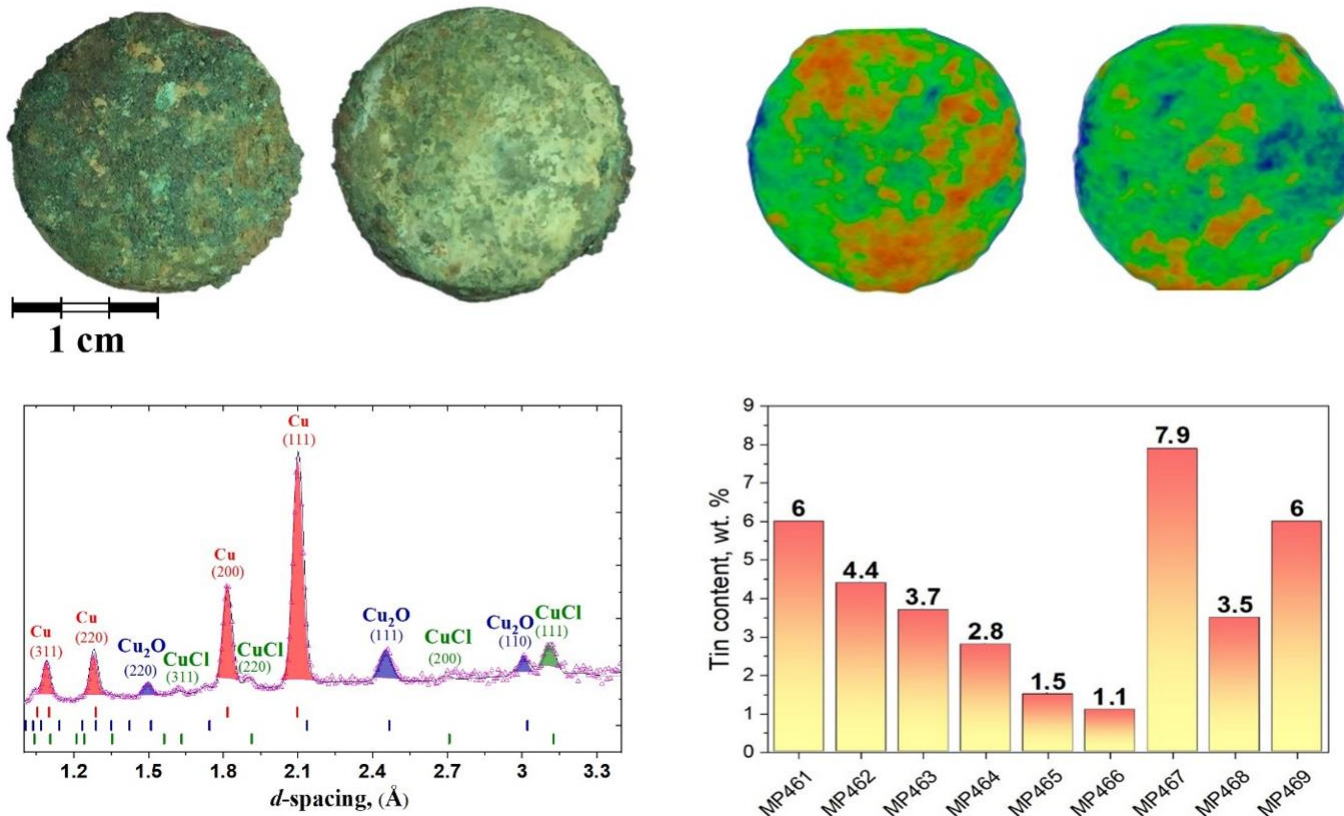
$g$ - ориентация гранул       $E$   
макроскопические деформации

$$\sigma_{ij}(g) \rightarrow \sigma_{Von\ Mises}(g)$$



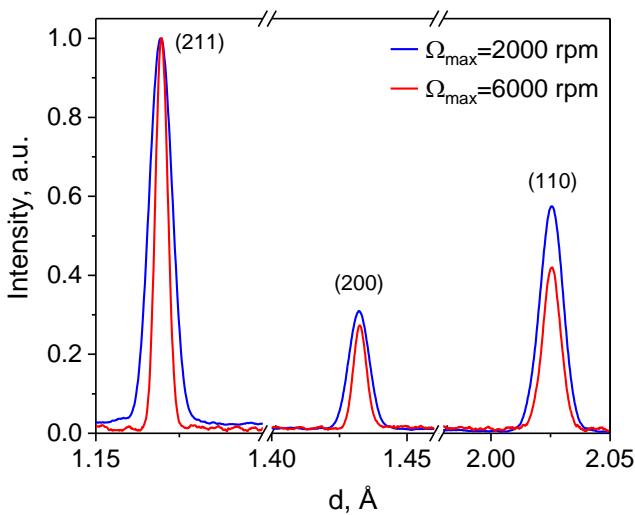
Измеренная эволюция напряжения Фон Мизеса (Von Mises) для ориентаций (A, B, C, D, Т-твины) в магниевом сплаве AZ31 во время испытания на сжатие вдоль направления прокатки (RDC) и нормального направления (NDC). Деформации решетки были измерены в 17 различных направлениях вектора рассеяния. Такие измерения позволили определить тензор напряжений для различной ориентации гранул во время *in situ* измерений на сжатие .

# Исследование состава и пространственного распределения фазовых компонентов древнегреческих культовых медных монет

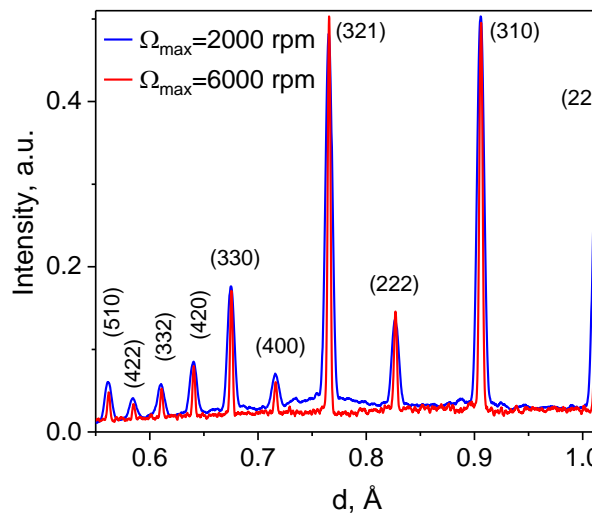


Фотография (слева) и восстановленная из данных нейтронной томографии 3D модель (справа) одной из монет – обола Харона. Выделены участки патины и коррозии в объеме исследуемой монеты. Представлены нейтронный дифракционный спектр монеты с идентификацией составляющих фазовых компонентов, а также гистограмма относительного содержания олова в бронзовом сплаве исследуемых монет по данным нейтронной дифракции.

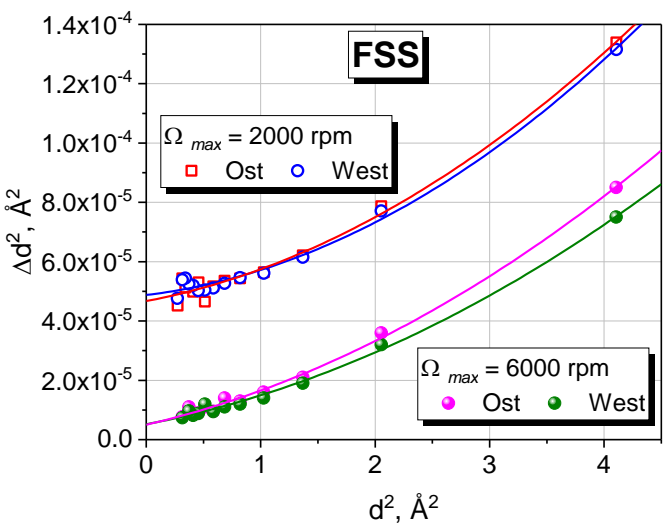
# FSS@beamline 13: new Fourier chopper



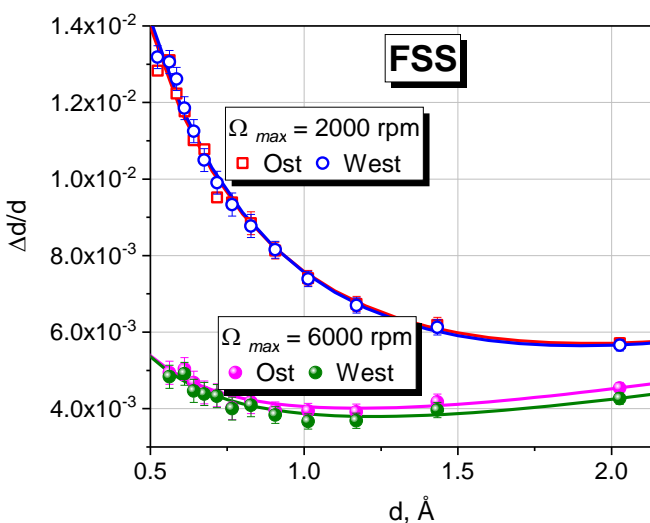
High-resolution RTOF spectra comparison



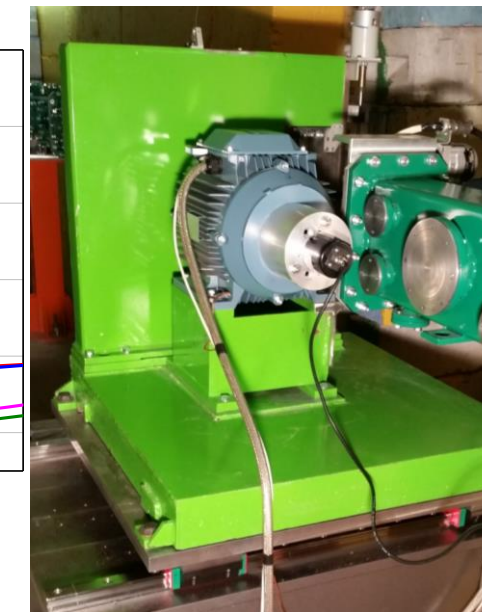
Old F-chopper:  $\Omega_{\max} = 2000 \text{ rpm}$



Increase in resolution level



New F-chopper:  $\Omega_{\max} = 6000 \text{ rpm}$



# Neutron Reflectometry with secondary radiation registration – Definition (Analysis) of Isotope spatial distribution

Yu.V. Nikitenko, V.D. Zhaketov, A.V. Petrenko, Yu.M. Gledenov, Yu.N. Kopach, A.N. Gundorin, V.L. Aksenov

## Basic relations

Neutron absorption coefficient     $M = 1 - R - T$

Neutron reflection coefficient     $R(k) = \int f_1[k, U(z)] dz = \sum_i N_i (\alpha b_i - i \beta \sum_j \sigma_{ij}) dz,$

Neutron transmission coefficient     $T(k) = \int f_2(k, U(z)) dz,$

Secondary radiation intensity     $I_{sec} \sim M = \int J_z(z) N(z) \sigma dz / J_{z0}$

## Sensitivity

1) Channel of charged particles:     $\sigma_{min} = 0.025 \text{ barn (for isotope layer thickness 5 nm)}$

$\sigma > 0.025 \text{ barn ( 22 isotopes )}:$

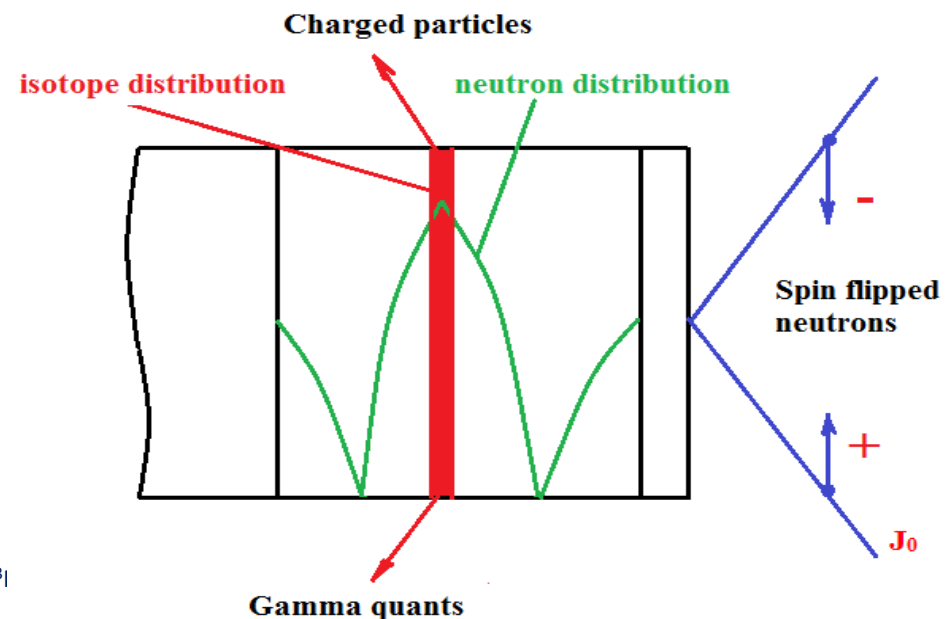
${}^3\text{He}, {}^6\text{Li}, {}^7\text{Be}, {}^{10}\text{B}, {}^{14}\text{N}, {}^{17}\text{O}, {}^{21}\text{Ne}, {}^{22}\text{Na}, {}^{26}\text{Al}(1.18\text{K}), {}^{33}\text{S}, {}^{35}\text{Cl}, {}^{36}\text{Cl}, {}^{37}\text{Ar}, {}^{40}\text{K}, {}^{41}\text{Ca}, {}^{59}\text{Ni}, {}^{65}\text{Zn}(0.85\text{K}), {}^{76}\text{Br}, {}^{84}\text{Rb}, {}^{109}\text{Cd}(0.52\text{K}), {}^{203}\text{Tl}, {}^{143}\text{I}$

2) Channel of gamma quanta:     $\sigma_{min} = 0.3 \text{ barn (for isotope layer thickness 5 nm)}$

$\sigma > 0.3 \text{ barn ( > 100 isotopes )}:$

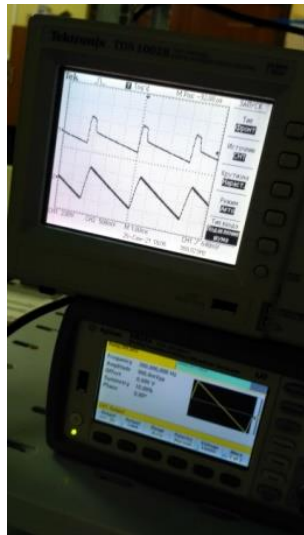
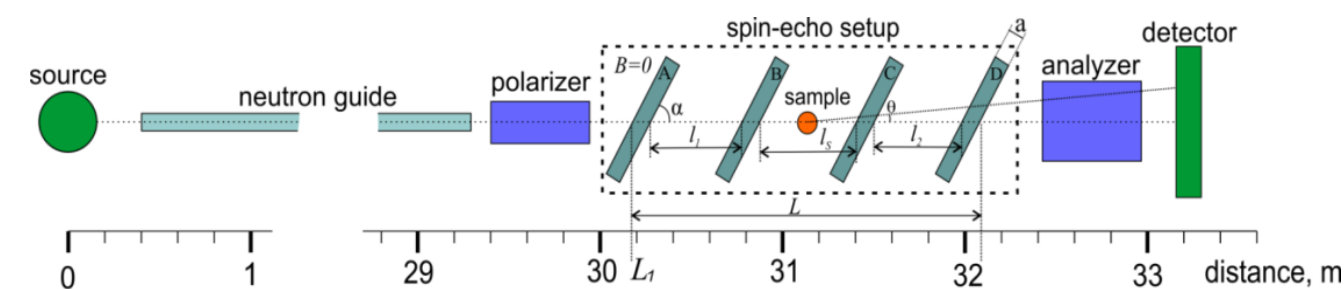
$\text{Cl}, {}^{36}\text{Ar}, {}^{39}\text{K}, {}^{43}\text{Ca}, {}^{45}\text{Sc}, {}^{45}\text{Ti}, \text{V}(5.4\text{K}), \text{Cr}, {}^{53,55}\text{Mn}, \text{Fe}, {}^{59}\text{Co}, \text{Ni}, \text{Cu}, {}^{67}\text{Zn}, {}^{75}\text{As}, \text{Se}, \text{Br}, \text{Kr}, {}^{87}\text{Sr}, \text{Mo}(0.915\text{K}), {}^{99}\text{Tc}(7.8\text{K}), \text{Ru}, {}^{103}\text{Rh}, \text{La}(4.9, 6.0\text{K}), {}^{192,195}\text{Pt}, {}^{197}\text{Au}, \text{Pd}, \text{Nb}(9.25\text{K}), \text{Ag},$   
 $\text{Sn}(3.72\text{K}), \text{Re}(1.7\text{K}), \text{Ta}(4.47\text{K}), \text{Os}, {}^{192,195}\text{Pt}, {}^{197}\text{Au}, \text{Hg}, {}^{226}\text{Ra}, {}^{227}\text{Ac}, {}^{228-230}\text{Th}(1.4\text{K}), {}^{231}\text{Pa}(1.4\text{K}), \text{W}(1.5\text{K}), \text{Re}, \text{Os}(0.66\text{K}), {}^{192,195}\text{Pt}, {}^{197}\text{Au}, \text{Hg}(4.15, 3.95\text{K}), {}^{203,204}\text{Tl}, {}^{207}\text{Pb}(7.2\text{K}), {}^{226}\text{Ra}, {}^{227}\text{Ac}, {}^{228-230}\text{Th}, {}^{231}\text{Pa}, {}^{231}\text{U}, {}^{203,204}\text{Tl}(2.38\text{K}), {}^{237}\text{Np}, {}^{238-242}\text{Pu}, {}^{241-243}\text{Am}, {}^{243-245,247}\text{Cm}, {}^{249-252}\text{Cf}$

3) Channel of polarized neutrons : minimal perpendicular to plane magnetization is 1 Gs :     $\text{Fe}, \text{Co}, \text{Ni}, \text{Gd}, \text{Dy}, \text{Tb}, \text{Ho}, \text{Er}, \text{Tm}$  (9 elements)



# Development of SESANS instruments at pulsed and steady-state neutron reactors

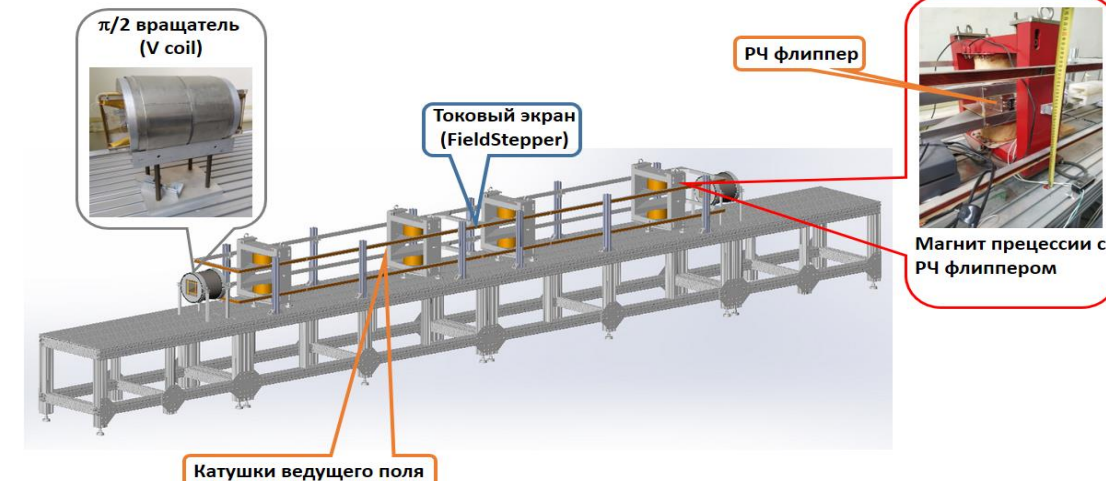
## SESANS option at REFLEX, IBR-2



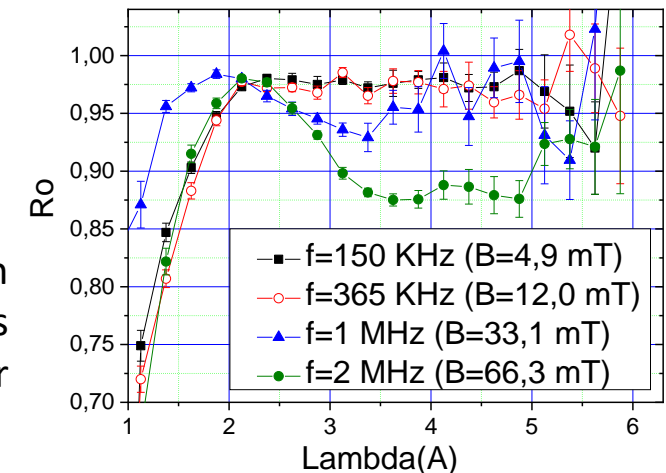
Upgraded power amplifier

Cooling unit RKV 2.5 for power electronics and spin rotators

## SESANS setup at PIK, NRC KI PNPI



Experimental wavelength dependences of efficiencies of RF spin-flipper



L.A. Axelrod, V. Kraan, D. Zhokhov, A. A. Sumbatyan, A. V. Nagorny, V.V. Tarnavich, Yu.O. Chetverikov , Proc. RNIKS-2021, J. Surf. Investigation (2021) submitted.

# Расходимость нейтронного микропучка из плоского волновода

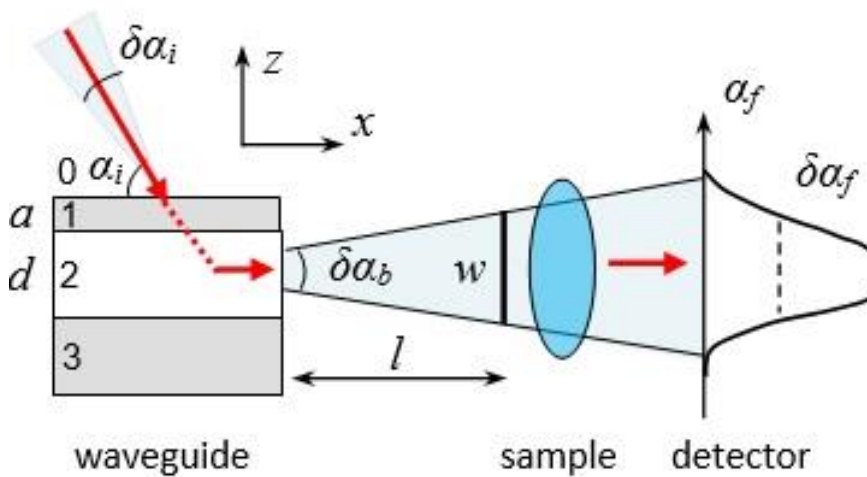


Fig. 1

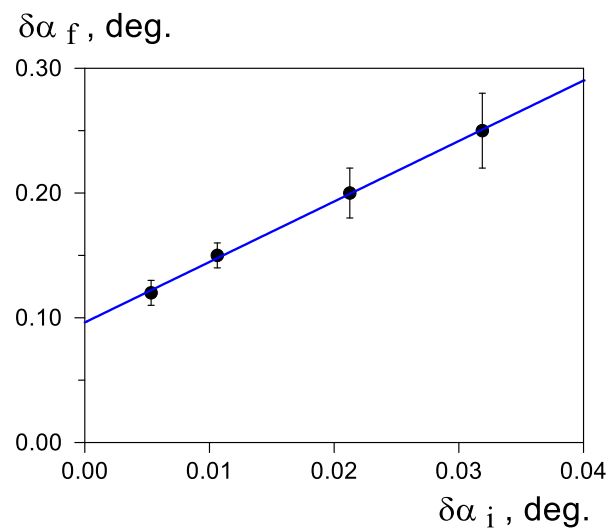


Fig. 3

$$\delta\alpha_f = 0.096 + 4.4 \cdot \delta\alpha_i$$

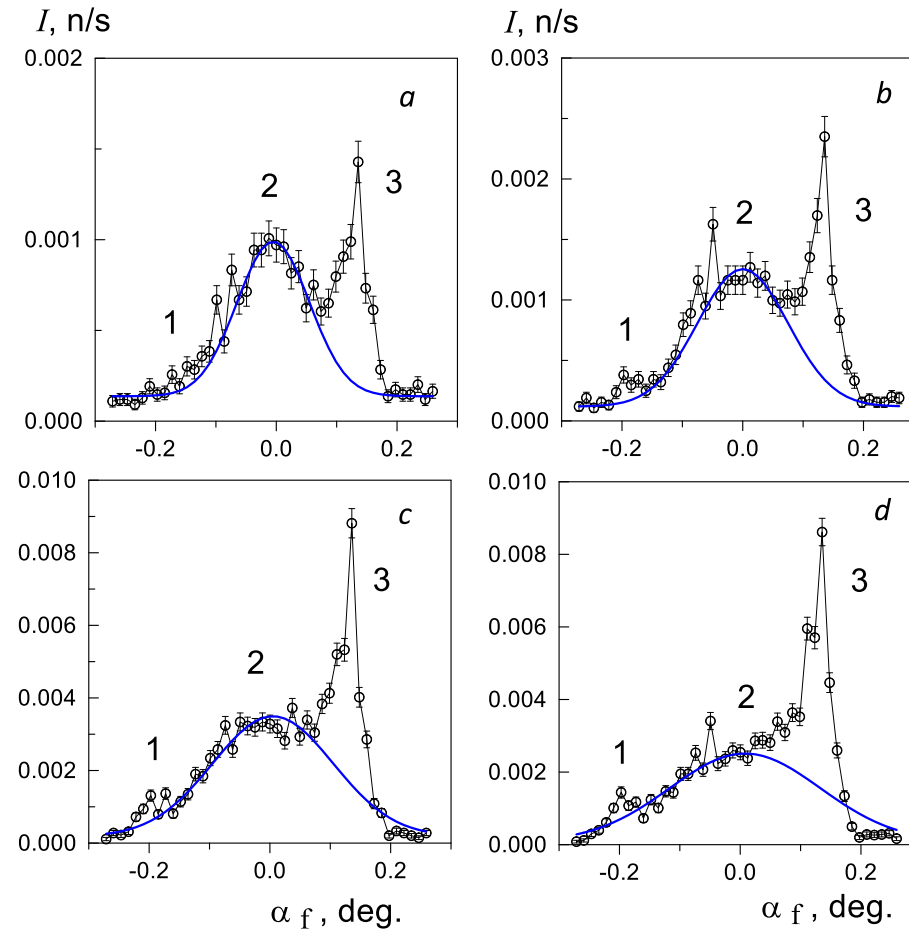


Fig. 2

С.В.Кожевников

**Публикации – 167**

**Конференции – 94**

**Заявки на патенты – 1**

**Премии ОИЯИ за 2020 г.**

Вторая премия в области научно-технических прикладных исследований  
**«Надатомная структура планарных и развитых электрохимических границ раздела для литиевых накопителей энергии по данным нейтронного рассеяния».**

Авторы: М. В. Авдеев, В. И. Петренко, И.В. Гапон, А. И. Иваньков, Е. Е. Ушакова, Е. Н. Косячкин, Д. М. Иткис, Л. В. Яшина, А. А. Рулев, Т. К. Захарченко.

## Бюджет – 2021

**План – 370 kUSD (материальные статьи)**

**Большая часть выделенных средств предназначалась для осуществления текущих платежей по ранее заключенным контрактам.**

**МНТС – план - 168 kUSD, по решению дирекции ЛНФ сумма уменьшена до 108 kUSD в рамках корректировки бюджета ЛНФ для финансирования контрактных работ по теме 1140 (новый источник нейтронов).**

**Исполнение по материальным статьям – 100 %, МНТС – 80 %.**

Thank You for Your Attention!